

АППАРАТУРА И МЕТОДЫ ОПТИЧЕСКОЙ ДИАГНОСТИКИ ОКРУЖАЮЩЕЙ СРЕДЫ

УДК 550.388.2; 551.510.535

Л.В. Антошкин, В.В. Лавринов, Л.Н. Лаврина, В.П. Лукин

Дифференциальный метод
в измерении параметров турбулентности
и скорости ветра датчиком волнового фронта

Институт оптики атмосферы СО РАН, г. Томск

Поступила в редакцию 19.08.2007 г.

Представлено теоретическое обоснование использования дифференциального метода и корреляционного анализа при измерении структурной постоянной показателя преломления, длины когерентности и поперечной составляющей скорости ветра. В качестве инструмента измерений рассматривается датчик волнового фронта. Результаты теоретических исследований подтверждены численными экспериментами.

Распространение оптического излучения в атмосфере сопровождается флуктуациями его параметров: интенсивности, фазы, угла прихода и т.д. Возникшие в результате турбулентности атмосферы изменения хода лучей приводят к флуктуациям фазы вдоль и поперек пучка. Если флуктуации фазы вдоль пучка уменьшают временную когерентность, то поперечные флуктуации нарушают пространственную когерентность волнового фронта, искривляя и изгиная пучок, вызывая «дрожание» изображения. Флуктуации фазы приводят к флуктуациям угла прихода. Оценивание флуктуаций угла прихода на основе взаимного корреляционного анализа позволяет определить характерные параметры атмосферной турбулентности, а использование дифференциального метода – минимизировать ошибки измерений, возникающие в результате собственных колебаний измерительной системы.

Идея использования измерения угла прихода света от звезды для определения параметров турбулентности была предложена еще в середине прошлого столетия [1]. Фридом [2] определены количественные уравнения, связывающие углы прихода и параметры турбулентности. Дифференциальное измерение движения света от звезды было реализовано в дифференциальном измерителе дрожания изображения (Differential Image Motion Monitor [3]), посредством которого из дисперсии случайных смещений энергетических центров тяжести (ЭЦТ) изображения вычисляются параметры турбулентности. В целом, дифференциальный измеритель – практический и доступный инструмент, который способен измерять несколько параметров турбулентности и в настоящее время является постоянным инструментом таких обсерваторий мира, как Серро Паранал или Мауна-Кеа. В то же время он не может обеспечить полной информацией о детальной структуре турбулентности.

На анализе пространственной ковариации флуктуаций углов прихода в рамках модели Карма-

на построена идеология дифракционно решеточного масштабного измерителя (Grating Scale Monitor [4]), который использует принцип, подобный датчику Шэка–Гартмана, т.е. измеряет флуктуации угла прихода, одновременно детектируемые в нескольких точках волнового фронта, и может обеспечить почти полный набор параметров волнового фронта, важных для методов с высоким угловым разрешением. Для измерения скорости волнового фронта GSM рассматривает временную взаимную корреляцию угла прихода между двумя телескопами, отделенными фиксированным расстоянием. Применение дифференциального метода в GSM позволяет избежать влияния источников шума в определении видимости [5].

Суть дифференциального метода, который положен в основу дифференциального измерителя турбулентности [6], заключается в том, что по измерениям дисперсии разности угловых смещений α_1, α_2 ЭЦТ изображений от двух субапертур диаметром D , расположенных в плоскости входного зрачка на расстоянии d , без учета анизотропии, т.е. $\sigma_{\alpha_1}^2 = \sigma_{\alpha_2}^2$, из выражения

$$\sigma_{\alpha}^2 = 2r_0^{-5/3}\lambda^2 q \quad (1)$$

вычисляются параметры турбулентности: среднее по трассе распространения значение структурной постоянной показателя преломления

$$C_n^2 = \frac{\sigma_{\alpha}^2}{3,384\pi^2 L q} \quad (2)$$

и радиус Фрида плоской волны

$$r_0 = \left(\frac{\sigma_{\alpha}^2}{2\lambda^2 q} \right)^{-3/5}, \quad (3)$$

где $\sigma_\alpha^2 = \sigma_{\alpha_1 - \alpha_2}^2$; $q = A_\alpha D^{-1/3} - Fd^{-1/3}$ – константа, характеризующая применимость дифференциального метода, $F = 0,097$ в случае продольной корреляции и $F = 0,145$ в случае поперечной, $A_\alpha = \frac{A}{1,692\pi^2}$, в рамках модели турбулентности Колмогорова

$$\begin{aligned} A &= 1,46 \text{ при } l_0 < D < \sqrt{\lambda L}, \\ A &= 2,9 \text{ при } l_0 > D > \sqrt{\lambda L}, \end{aligned} \quad (4)$$

L – длина трассы; $[l_0, L_0]$ – инерционный интервал пространственных масштабов неоднородностей.

Дифференциальный метод, предназначенный для минимизации ошибки измерений, связанной с собственными колебаниями измерительной системы, позволяет найти структурные характеристики турбулентности.

Определить характерные параметры турбулентности можно и датчиком волнового фронта. На рис. 1 дано схематическое изображение датчика волнового фронта (ДВФ) шэка-гартмановского типа. Линзовый растр разбивает приходящий волновой фронт на локальные участки, которые фокусируются на приемнике. На приемнике формируется изображение, называемое гартманограммой.

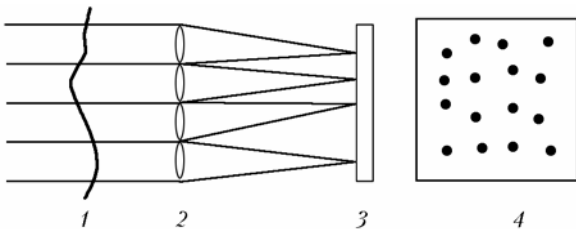


Рис. 1. Схематичное изображение ДВФ Шэка–Гартмана: 1 – волновой фронт; 2 – линзовый растр; 3 – приемное устройство; 4 – гартманограмма

Принцип действия ДВФ Шэка–Гартмана основан на измерении локальных наклонов волнового фронта, координаты которых

$$x_k = \sum_{i,j} x_{i,j} I_{i,j} / \sum_{i,j} I_{i,j}, \quad y_k = \sum_{i,j} y_{i,j} I_{i,j} / \sum_{i,j} I_{i,j}$$

выражаются в радианах через масштаб изображения на приемнике; $I_{i,j}$ – интенсивности света на пикселях приемника; i, j – номера пикселей измеряемой зоны фокального пятна. Локальные наклоны волнового фронта пропорциональны смещениям ЭЦТ фокального пятна с координатами (x_k, y_k) относительно ЭЦТ пятна, полученного для плоского волнового фронта, с координатами (x_k^0, y_k^0) :

$$\frac{\partial \phi(x_k, y_k)}{\partial x} = \frac{1}{f}(x_k^0 - x_k), \quad \frac{\partial \phi(x_k, y_k)}{\partial y} = \frac{1}{f}(y_k^0 - y_k), \quad (5)$$

где f – фокус микролинзы.

На рис. 2 представлено прохождение оптического излучения через одиночную микролинзу BC

диаметром D . Прямая DE соответствует плоскости приемника, прямая AB – плоскости приходящего волнового фронта. Отрезок DE равен смещению координаты фокального пятна $x^0 - x$ и пропорционален углу прихода α . Угол наклона волнового фронта к плоскости микролинзы $\angle ABC$ равен углу прихода α и пропорционален отрезку AC , соответствующему разности фаз $\phi(A) - \phi(B)$.

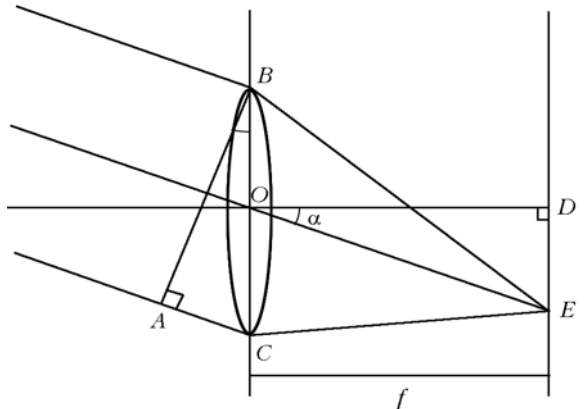


Рис. 2. Схематичное изображение преломления оптического излучения одиночной микролинзой

Таким образом, измерив смещение координат ЭЦТ фокального пятна гартманограммы, можно определить угол прихода $\tan \alpha = (x^0 - x)/f$ (так как при малых значениях α $\tan \alpha \approx \alpha$, то $\alpha = (x^0 - x)/f$), угол наклона и вычислить разность фаз: $\Delta\phi = [D(x^0 - x)/f]$, учитывая, что $\sin \alpha \approx \alpha$ для малых значений α .

С одной стороны, дисперсия угла прихода вычисляется следующим образом:

$$\sigma_\alpha^2 = \sum_{m=1}^M \frac{(\alpha_m - \bar{\alpha})^2}{M-1}, \quad (6)$$

где M – число измерений угла прихода в фокальном пятне; $\bar{\alpha} = \langle \alpha_m \rangle$ – среднее по трассе распространения значение угла прихода.

В системе координат x, y угол прихода зависит от расстояния $d = \sqrt{(x^0 - x)^2 + (y^0 - y)^2}$ и имеет вид $\alpha = d/f$, тогда дисперсию угла прихода можно выразить через дисперсию смещений ЭЦТ фокального пятна:

$$\sigma_\alpha^2 = \frac{1}{f^2} \sum_{m=1}^M \frac{(d_m - \bar{d})^2}{M-1}, \text{ или } \sigma_\alpha^2 = \frac{1}{f^2} \sigma_d^2, \quad (7)$$

где $d_m = \sqrt{(x_m^0 - x_m)^2 + (y_m^0 - y_m)^2}$ – смещение ЭЦТ фокального пятна; $\bar{d} = \langle d_m \rangle$ – среднее по трассе распространения значение смещений ЭЦТ того же фокального пятна.

С другой стороны, дисперсия угла прихода в рамках модели турбулентности Колмогорова [7] имеет вид

$$\sigma_{\alpha}^2 = \begin{cases} 1,46D^{-1/3}C_n^2L & \text{при } l_0 < D < \sqrt{\lambda L} \\ 2,9D^{-1/3}C_n^2L & \text{при } L_0 > D > \sqrt{\lambda L}, \end{cases} \quad (8)$$

или

$$\sigma_{\alpha}^2 = ALC_n^2D^{-1/3}$$

при условиях (4). Приравнивание правых частей выражений (7) и (8) позволяет определить C_n^2 через дисперсию смещений ЭЦТ фокального пятна:

$$C_n^2 = \frac{D^{1/3}}{Af^2L} \sum_{m=1}^M \frac{(d_m - \bar{d})^2}{M-1}, \text{ или } C_n^2 = \frac{D^{1/3}}{Af^2L} \sigma_d^2. \quad (9)$$

Как и в дифференциальном измерителе турбулентности, для датчика волнового фронта могут быть применены дифференциальный метод и взаимный корреляционный анализ сигналов [6] при вычислении параметров турбулентности из измерений дисперсии разности смещений ЭЦТ фокальных пятен гартманограммы, полученной в результате прохождения оптического излучения через линзовый растр.

Дисперсия разности смещений ЭЦТ вычисляется для пар фокальных пятен, соответствующих паре микролинз диаметром D , расстояние между их центрами d_{mc} , расстояние между соседними микролинзами d . Соотношение, связывающее расстояние между центрами микролинз

$$d_{mc} = \sqrt{(\xi_{ij} - \xi_{i+kj+l})^2 + (\eta_{ij} - \eta_{i+kj+l})^2}, \quad \xi_{ij} = \frac{x_{ij}^0}{h},$$

$$\eta_{ij} = \frac{y_{ij}^0}{h}, \quad \xi_{i+kj+l} = \frac{x_{i+kj+l}^0}{h}, \quad \eta_{i+kj+l} = \frac{y_{i+kj+l}^0}{h}$$

и расстояние между центрами соответствующих зон фокальных пятен

$$d_f = \sqrt{(x_{ij}^0 - x_{i+kj+l}^0)^2 + (y_{ij}^0 - y_{i+kj+l}^0)^2}, \quad d_f / d_{mc} = h$$

зависит от разрешения камеры: $h = D_z / D$, где D_z – размер зоны фокального пятна на гартманограмме.

Из измерения дисперсии разности смещений ЭЦТ пары фокальных пятен с расстоянием между их центрами d_f вычисляется среднее по трассе распространения значение структурной постоянной согласно выражению (2) по формуле

$$C_n^2 = \frac{\sigma_d^2}{3,384\pi^2 f^2 L q_{mc}}, \quad (10)$$

где $q_{mc} = A_{\alpha}D^{-1/3} - Fd_{mc}^{-1/3}$, d_{mc} – расстояние между центрами выбранных микролинз; $A_{\alpha} = A / 1,692\pi^2$ при условиях (4); дисперсия разности смещений ЭЦТ фокальных пятен имеет вид

$$\sigma_d^2 = \sum_{m=1}^M \frac{[(d_{ij} - d_{i+kj+l})_m - (\bar{d}_{ij} - \bar{d}_{i+kj+l})]^2}{M-1}, \quad (11)$$

где

$$d_{ij} = \sqrt{(x_{ij}^0 - x_{ij})^2 + (y_{ij}^0 - y_{ij})^2},$$

$$d_{i+kj+l} = \sqrt{(x_{i+kj+l}^0 - x_{i+kj+l})^2 + (y_{i+kj+l}^0 - y_{i+kj+l})^2}$$

– смещения ЭЦТ фокальных пятен с координатами (x_{ij}, y_{ij}) , (x_{i+kj+l}, y_{i+kj+l}) относительно фокальных пятен с координатами (x_{ij}^0, y_{ij}^0) , $(x_{i+kj+l}^0, y_{i+kj+l}^0)$ соответственно: $i = 1, 2, \dots, N$; $j = 1, 2, \dots, N$; $k = 1, 2, \dots, N-1$; $l = 1, 2, \dots, N-1$.

Если измерять дисперсию разности смещений ЭЦТ пары соседних фокальных пятен, полагая, что $d_{mc} = d = D$, то $q_{mc} = D^{-1/3}(A_{\alpha} - F) = D$, или $q_{mc} = D^{-1/3}(A_{\alpha} - F\sqrt{2})$. В этом случае дифференциальный метод сводится к формуле (9) и C_n^2 вычисляется по дисперсии смещений ЭЦТ одного фокального пятна.

Применение взаимного корреляционного анализа в работе датчика волнового фронта позволяет вычислить среднее значение поперечной составляющей скорости ветра. Известно [8], что под действием поперечной составляющей скорости ветра турбулентность согласно гипотезе «замороженности» «плывет» в плоскости, параллельной плоскости линзового растра и, соответственно, параллельной плоскости гартманограммы (см. рис. 1).

На рис. 3 представлено виртуальное совмещение плоскости движения турбулентности под действием поперечной составляющей скорости ветра с плоскостью гартманограммы.

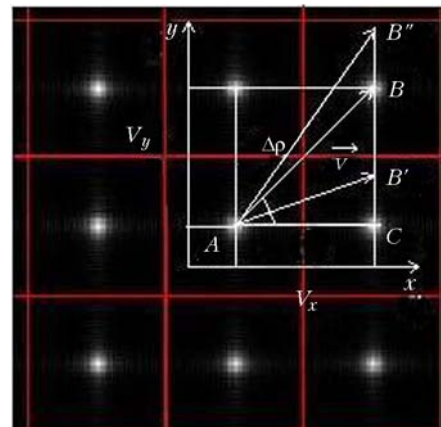


Рис. 3. Часть гартманограммы; V_x , V_y – проекции вектора скорости ветра

Видно, что проекции поперечной составляющей скорости ветра на осях координат, в которых заданы смещения ЭЦТ фокальных пятен, образуют между собой угол $\theta = \arctg(V_y/V_x)$. В общем случае скорость меняется по линейному закону: $V = k\Delta\phi/\Delta t$, $k = V_y/V_x$. В применении к данному случаю время корреляции $\Delta t = t_1 - t_m$, где t_1 и t_m – моменты времени, когда координаты ЭЦТ фокальных пятен должны совпадать, т.е. $x_k(t_1) = x_k(t_m)$

и $y_k(t_1) = y_k(t_m)$, поскольку движение турбулентности в рамках модели Колмогорова представляет собой периодический процесс [9].

Дисперсия разности смещений ЭЦТ пары фокальных пятен согласно выражениям (1) и (7) имеет вид

$$\sigma_d^2 = 2f^2 r_0^{-5/3} \lambda^2 (A_\alpha D^{-1/3} - F d_{mc}^{-1/3}). \quad (12)$$

Для $d_{mc} = d$ дифференциальный метод не может быть реализован. Физический смысл дифференциального метода заключается в значении разности $A_\alpha D^{-1/3} - F d_{mc}^{-1/3}$, а точнее, в численном соотношении D и d_{mc} . Дифференциальный метод может быть реализован достаточно хорошо, если значение $d_{mc}^{-1/3}$ очень мало или величина d_{mc} достаточно велика, т.е. расстояние между центрами выбранных микролинз должно значительно превышать диаметр самих микролинз. Можно подобрать значения i, j, k, l таким образом, чтобы d_{mc} соответствовало микролинзам, максимально разнесенным, т.е. размещенным на краях растра.

С другой стороны, использование корреляционного анализа в вычислении параметров турбулентности по дисперсии разности смещений ЭЦТ пары фокальных пятен возможно лишь при условии, что флуктуации смещений ЭЦТ фокальных пятен некоррелированы. Для этого расстояние между центрами выбранных линз d_{mc} должно быть больше внешнего масштаба турбулентности L_0 .

При условии, что $d_{mc} \neq d$ или, другими словами, для выражения $A_\alpha D^{-1/3} - F d_{mc}^{-1/3}$, где $d_{mc} = (N_{lens} - 1)D$ (N_{lens} – размерность линзового растра при условии $L_0 > D > \sqrt{\lambda L}$), с учетом, что $d_f/d_{mc} = h$, расстояние между центрами зон соответствующих фокальных пятен d_f может быть выражено из формулы (12) в следующем виде:

$$d_f = h \left(\frac{A_\alpha D^{-1/3}}{F} - \frac{\sigma_d^2}{2f^2 r_0^{-5/3} \lambda^2 F} \right)^{-3}, \quad (13)$$

или

$$d_f = \frac{h}{(\pi^2 F)^{-1/3}} \left(\frac{AD^{-1/3}}{1,692} - \frac{\sigma_d^2}{3,384 f^2 C_n^2 L} \right)^{-3}. \quad (14)$$

Из рис. 3 следует, что

$$\Delta\rho = \frac{d_f}{\cos\theta} \text{ и } V = \frac{\Delta\rho}{\Delta t} = \frac{d_f}{\Delta t \cos\theta},$$

тогда

$$d_f = V \Delta t \cos\theta. \quad (15)$$

Приравнивание правых частей равенств (14) и (15) дает выражение поперечной составляющей скорости ветра

$$V = \frac{d_f}{\Delta t \cos\theta (1,692 \pi^2 F)^{-1/3} d_{mc}} \left(AD^{-1/3} - \frac{\sigma_d^2}{2f^2 C_n^2 L} \right)^{-3}, \quad (16)$$

или

$$V = \frac{d_f}{\Delta t \cos\theta A_d d_{mc}} \left(AD^{-1/3} - \frac{\sigma_d^2}{2f^2 LC_n^2} \right)^{-3}, \quad (17)$$

где $A_d = 0,391 F^{-1/3}$; $A = 0,29$.

В выражении (17) отсутствует разность $A_\alpha D^{-1/3} - F d_{mc}^{-1/3}$ в явном виде. Параметр скорости зависит от соотношения σ_d^2/C_n^2 . Выражение $A_\alpha D^{-1/3} - F d_{mc}^{-1/3}$ входит в формулу для структурной постоянной C_n^2 , и, таким образом, дифференциальный метод присутствует при вычислении поперечной составляющей скорости ветра. В формуле (17) значение скорости определяется выражением $AD^{-1/3} - \sigma_d^2/(2f^2 LC_n^2)$, точнее значением второго слагаемого.

Поперечная составляющая скорости ветра проецируется на оси координат (см. рис. 3). Проекции образуют между собой угол, который также меняется со временем. В формуле (17) изменение направления ветра характеризуется косинусом θ .

Пусть точке A (см. рис. 3) соответствуют координаты (i, j) , точка C характеризуется координатами $(i+k, j)$ и точка B связана с координатами $(i+k, j+l)$, расстояние между точками A и C обозначено через d_{fx} , а расстояние BC соответственно d_{fy} , тогда $\tan\theta = V_y/V_x$ в каждый момент времени определяется отношением d_{fy}/d_{fx} , которое согласно выражению (13) зависит от

$$\sigma_{dx}^2 = \sum_{m=1}^M \frac{[(d_{i+kj} - d_{ij})_m - (\bar{d}_{i+kj} - \bar{d}_{ij})]^2}{M-1}$$

и

$$\sigma_{dy}^2 = \sum_{m=1}^M \frac{[(d_{i+kj+l} - d_{i+kj})_m - (\bar{d}_{i+kj+l} - \bar{d}_{i+kj})]^2}{M-1}.$$

Зависимость угла между проекциями вектора скорости от дисперсии разности смещений ЭЦТ пар фокальных пятен проиллюстрирована на рис. 4.

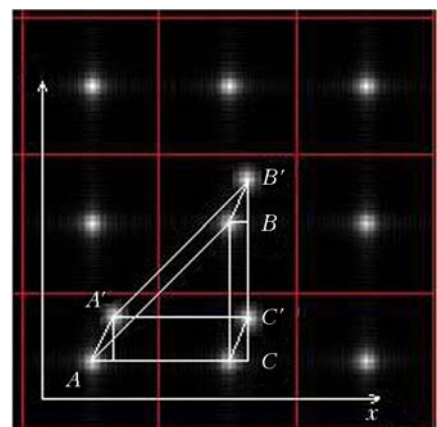


Рис. 4. Часть гартманограммы; $V_x = AC$, $V_y = BC$ и $V'_x = A'C'$, $V'_y = B'C'$ – проекции вектора скорости ветра в моменты t_1 и t_2

В начальный момент времени t_1 :

$$\theta = \arctg(V_y / V_x),$$

$$V_x = (x_C - x_A)^2 + (y_C - y_A)^2 = (x_{i+kj}^0 - x_{ij}^0)^2 + (y_{i+kj}^0 - y_{ij}^0)^2$$

соответствует расстоянию между точками A и C , т.е. d_{fx} ,

$$V_y = (x_B - x_C)^2 + (y_B - y_C)^2 = (x_{i+kj+l}^0 - x_{i+kj}^0)^2 + (y_{i+kj+l}^0 - y_{i+kj}^0)^2$$

соответствует расстоянию между точками B и C , т.е. d_{fy} . В следующий момент времени t_2 :

$$\theta = \arctg(V'_y / V'_x),$$

где проекции скорости пропорциональны разности смещений ЭЦТ пар фокальных пятен, что аналитически может быть представлено следующим образом:

$$\begin{aligned} V'_x &= V_x + [(x_{i+kj} - x_{i+kj}^0)^2 + (y_{i+kj} - y_{i+kj}^0)^2] - \\ &\quad - [(x_{ij} - x_{ij}^0)^2 + (y_{ij} - y_{ij}^0)^2] = \\ &= V_x + d_{i+kj} - d_{ij} = d_{fx} + d_{i+kj} - d_{ij}, \\ V'_y &= V_y + [(y_{i+kj+l} - y_{i+kj+l}^0)^2 + (y_{i+kj+l} - y_{i+kj+l}^0)^2] - \\ &\quad - [(x_{i+kj} - x_{i+kj}^0)^2 + (y_{i+kj} - y_{i+kj}^0)^2] = \\ &= V_y + d_{i+kj+l} - d_{i+kj} = d_{fy} + d_{i+kj+l} - d_{i+kj}, \\ &(x_{ij}^0, y_{ij}^0), (x_{i+kj}^0, y_{i+kj}^0), (x_{i+kj+l}^0, y_{i+kj+l}^0) \end{aligned}$$

— координаты фокальных пятен в момент t_1 ;

$$(x_{ij}, y_{ij}), (x_{i+kj}, y_{i+kj}), (x_{i+kj+l}, y_{i+kj+l})$$

— координаты фокальных пятен в момент t_2 : $i = 1, 2, \dots, N$; $j = 1, 2, \dots, N$; $k = 1, 2, \dots, N - 1$; $k = 1, 2, \dots, N - 1$.

В момент времени t_m :

$$\begin{aligned} V_x^{(m)} &= V_x + \sum_{m=1}^M \frac{(d_{i+kj} - d_{ij})_m}{M - 1}, \\ V_y^{(m)} &= V_y + \sum_{m=1}^M \frac{(d_{i+kj+l} - d_{i+kj})_m}{M - 1}. \end{aligned}$$

Усредненное по трассе распространения значение скорости ветра определяется дисперсиями разностей смещений ЭЦТ пар фокальных пятен σ_{dx}^2 и σ_{dy}^2 с центрами в точках A , B , C соответственно.

Применение в качестве приемного устройства CCD-камеры позволяет измерять дисперсию угла прихода, которая обычно составляет $1-10''$. Диаметр фокального пятна D_f зависит от разрешения CCD-камеры, диаметра и фокуса микролинзы. Если разрешение камеры 512×512 пикселей, то зона с фокальным пятном составляет 64×64 пикселя для линзового растра размером 24 мм, состоящего

из 64 микролинз (8×8). Размер одного пикселя соответствует 10×10 мкм. Таким образом, зона с фокальным пятном в данном случае составляет 640×640 мкм и соответствует микролинзе размером 3000×3000 мкм. Чтобы фокальное пятно не выходило за пределы отведенной ему зоны, случайные смещения фокального пятна не должны превышать $1/3$ радиуса дифракционного изображения. Радиус фокального пятна соответствует радиусу третьей темной полосы в дифракционной картине Эйри: $D_f = 1,619\lambda/D$. При диаметре микролинзы 3 мм максимально допустимое значение углового смещения ЭЦТ фокального пятна составляет $8,5 \cdot 10^{-5}$ рад. Дисперсия угловых смещений не должна превышать $7,2 \cdot 10^{-10}$ рад. Если α — максимально допустимое значение углового смещения ЭЦТ фокального пятна, то ему соответствует фокальное расстояние $f = D_f/2\alpha = 1,619\lambda/2\alpha D$, в данном случае $f \approx 2$ м для $\lambda = 0,63$ мкм. Тогда максимально допустимое значение смещения ЭЦТ фокального пятна составляет $1,7 \cdot 10^{-11}$ м.

Для оценивания эффективности измерения параметров турбулентности датчиком волнового фронта построена численная модель, включающая в себя модель динамической турбулентности со спектром неоднородностей фон Кармана [8, 9], модель линзового растра, модель датчика Шэка–Гартмана. В результате численных экспериментов было получено значение смещения ЭЦТ фокальных пятен по оси абсцисс, которое составляет $1,51765 \cdot 10^{-11}$ м при диаметре микролинз $D = 3$ мм, расстоянии между их центрами $d = 21$ мм, длине трассы $L = 300$ м, внешнем масштабе $L_0 = 10$ мм. В случае поперечной корреляции

$$\sigma_d^2 = 1,54207 \cdot 10^{-11} \text{ м}^2, C_n^2 = 5,76473 \cdot 10^{-14} \text{ м}^{-2/3}.$$

В численном эксперименте $h = 12$. В течение интервала времени $\Delta t = 100$ с при $D = 3$ мм, $L = 300$ м, $f \approx 2$ м, $\theta = 45^\circ$ среднее по трассе распространения значение поперечной составляющей скорости ветра

$$\begin{aligned} V &= \frac{0,213\sqrt{2}}{100 \text{ с} \cdot 0,855} \left(1,46(3,0 \cdot 10^{-3} \text{ м})^{-1/3} - \right. \\ &\quad \left. - \frac{1,54207 \cdot 10^{-11} \text{ м}^2}{2 \cdot 4,0 \text{ м}^2 \cdot 300 \text{ м} \cdot 6,48954 \cdot 10^{-14} \text{ м}^{-2/3}} \right)^{-3} = 0,965 \text{ м/с}. \end{aligned}$$

Это значение соответствует параметру скорости ветра 1,0 м/с в численной модели динамической турбулентности, с которым моделируется движение «замороженной» турбулентности.

1. Hosfeld R. Comparisons of stellar scintillations with image motion // J. Opt. Soc. Amer. 1954. V. 44. P. 284.
2. Fried D. Statistics of a geometric interpretation of wave front distortion // J. Opt. Soc. Amer. 1965. V. 55. N 11. P. 1426–1435.

3. Sarazin M. and Roddier F. The ESO differential image motion monitor // Astronom and Astrophys. 1990. V. 227. N 1. P. 294–300.
4. Ziad A., Conan R., Tokovinin A., Martin F., Borgnino J. From the grating scale monitor to the generalized seeing monitor // Appl. Opt. 2000. V. 39. N 10. P. 5415–5425.
5. Tokovinin A. Measurement of seeing and the atmospheric time constant by differential scintillations // Appl. Opt. 2002. V. 41. N 10. P. 957–964.
6. Антошкин Л.В., Ботыгина Н.Н., Емалеев О.Н., Лавринова Л.Н., Лукин В.П. Дифференциальный оптический измеритель параметров атмосферной турбулентности // Оптика атмосф. и океана. 1998. Т. 11. № 11. С. 1219–1223.
7. Гуревич А.С., Кон А.И., Миронов В.Л., Хмелевцов С.С. Лазерное излучение в турбулентной атмосфере. М.: Наука, 1976. 277 с.
8. Лукин В.П., Формес Б.Б. Адаптивное формирование пучков и изображений в атмосфере. Новосибирск: Изд-во СО РАН, 1999. 211 с.
9. Lavrinova L.N. Dependence of adaptive correction with multiactuators mirror on statistical properties of turbulence // Proc. SPIE 2005. V. 6160. P. 201–205.

L.V. Antoshkin, V.V. Lavrinov, L.N. Lavrinova, V.P. Lukin. Differential method for measurement of turbulence parameters and wind velocity by the wave front sensor.

The theoretical basis for applying the differential method and the correlation analysis to measurement of the structural constant of the refractive index, the coherence length and a transversal component of wind speed is presented. As the measurement instrument a sensor of wave front is considered. The results of the theoretical investigations are confirmed by the numerical experiments.